

## CHARGE ELECTRIQUE - CHAMP ELECTROSTATIQUE

La charge électrique est quantifiée à l'échelle microscopique ( $q = \pm ne$ , avec  $e = 1,6 \cdot 10^{-19} \text{ C}$ ) mais continue à l'échelle macroscopique (tout corps chargé peut être décomposé en éléments mésoscopique de charge  $dq_M = \rho_M d\tau_M$  avec  $\rho_M$  densité volumique locale de charges). La charge totale d'un système est conservative et indépendante du repère d'étude.

### Loi de Coulomb

Force exercée par deux charges ponctuelles  $q_1$  et  $q_2$  à la distance  $r$  l'une de l'autre :

$$\vec{f}_{12} = \frac{1}{4\pi\epsilon_0} \frac{q_1 q_2}{r^2} \hat{u} = -\vec{f}_{21} \quad \text{avec} \quad \frac{1}{4\pi\epsilon_0} = 9 \cdot 10^9 \text{ mF}^{-1}$$

$\epsilon_0$  permittivité absolue du vide, remplacé par  $\epsilon = \epsilon_0 \epsilon_r$  dans un milieu diélectrique.

Champ électrostatique : défini par son action :

• Champ créé par une charge ponctuelle  $q_1$  :  $\vec{E} = \frac{1}{4\pi\epsilon_0} \frac{q_1}{r^2} \hat{u}$

• Action d'un champ sur une charge ponctuelle  $q_2$  :  $\vec{f} = q_2 \vec{E}$

• Principe de superposition pour une distribution quelconque de charges (somme vectorielle) :

$$\vec{E} = \frac{1}{4\pi\epsilon_0} \sum_i \frac{q_i}{r_i^2} \hat{u}_i \quad ; \quad \vec{E} = \frac{1}{4\pi\epsilon_0} \int \frac{dq}{r^2} \hat{u} \quad \left\{ \begin{array}{l} \text{linéique : } dq = \lambda dl \\ \text{surfacique : } dq = \sigma dS \\ \text{volumique : } dq = \rho d\tau \end{array} \right.$$

(discontinue) (continue)

### Topographie

Des logiciels de simulation fournissent des cartes de champ. Les lignes de champ ne se rejoignent pas sur elles-mêmes.  $\vec{E}$  diverge à partir d'une source  $q > 0$  et converge vers une source  $q < 0$ .

### Propriétés de symétrie et d'invariance

Un champ électrostatique possède les propriétés d'invariance et de symétrie de la distribution de charges qui le crée :

• symétrie plane :  $\rho(M') = \rho(M)$  avec  $M' = \text{sym}_\pi(M)$

alors le champ  $\vec{E}$  créé en un point  $M$  du plan de symétrie  $\pi$  (plan miroir) appartient à ce plan.

• antisymétrie plane :  $\rho(M') = -\rho(M)$  avec  $M' = \text{sym}_\pi(M)$

alors le champ  $\vec{E}$  créé en un point du plan d'anti-symétrie  $\pi'$  (plan anti-miroir) est perpendiculaire à ce plan.

• axe de symétrie :  $\vec{E}$  en un point de l'axe est colinéaire à l'axe de symétrie.

• Symétrie cylindrique ( $\rho(r, \theta, z) = \rho(r)$ ) ou sphérique ( $\rho(r, \theta, \phi) = \rho(r)$ ) :

champ radial :  $\vec{E}(r) = E(r) \hat{u}$ .

## POTENTIEL ELECTROSTATIQUE - ENERGIE POTENTIELLE

La circulation du vecteur champ électrique le long d'une courbe  $\Gamma$  s'exprime par :

$$\mathcal{C}_A^B = \int_{A(\Gamma)}^B \vec{E} \cdot d\vec{e} = V_A - V_B \quad \text{et} \quad \mathcal{C}_A^A = \oint_{\Gamma} \vec{E} \cdot d\vec{e} = 0.$$

Le potentiel électrostatique du point M est une fonction d'état scalaire connue, à une cst près :

• Créé par une charge ponctuelle :

$$V(r) = \frac{q_0}{4\pi\epsilon_0 r}$$

• Distribution discontinue :

$$V(M) = \sum_i V_i = \frac{1}{4\pi\epsilon_0} \sum_i \frac{q_i}{r_i}$$

• Distribution continue :

$$V(M) = \frac{1}{4\pi\epsilon_0} \int \frac{dq}{r} \quad \text{avec} \quad dq \quad \begin{array}{l} \text{linéique} \\ \text{surfacique} \end{array}$$

Le potentiel dérive du champ électrostatique :

$$\vec{E} = -\text{grad} V \quad \Leftrightarrow \quad dV = -\vec{E} \cdot d\vec{e}$$

Topographie : les lignes de champ sont normales aux surfaces équipotentielles ( $V = \text{cst}$ ).  
Le champ est orienté dans le sens des potentiels décroissants.

Le travail d'une force électrostatique est indépendant du chemin suivi.

Déplacement d'une charge  $q$  de A à B dans un champ  $\vec{E}$  extérieur :

$$W_{A \rightarrow B} = q(V_A - V_B) = -\Delta \mathcal{E}_p(A \rightarrow B)$$

L'énergie potentielle électrostatique

• Cas d'une charge  $q$  dans un champ  $\vec{E}$  :  $\mathcal{E}_p = qV$ .

Elle correspond au travail que doit fournir l'opérateur pour construire le système de façon réversible :

$$W_{op} = -W_{el}(\infty \rightarrow M) = -q(V_{\infty} - V_M) = qV = \mathcal{E}_p.$$

• Distribution quelconque :

$$\vec{E} = -\text{grad} V \quad \Leftrightarrow \quad \vec{F} = -\text{grad} \mathcal{E}_p$$

Toute force conservative dérive d'une énergie potentielle.

## THEOREME DE GAUSS - CONDENSATEUR PLAN

Le flux du champ électrostatique  $\vec{E}$  à travers une surface (s) orientée correspond à :

$$\Phi = \iint_S \vec{E} \cdot d\vec{S} \quad (\text{avec } d\vec{S} = +dS \hat{u}_{\text{ext}} \text{ en général})$$

Le flux du champ créé par une charge ponctuelle est :

$$\Phi = \frac{q}{4\pi\epsilon_0} \iint_S \frac{\hat{u} \cdot d\vec{S}}{r^2}$$

### Théorème de Gauss

Le flux du champ créé par une distribution de charges quelconque à travers une surface fermée  $\Sigma$  (dite surface de Gauss) est égale à la somme des charges de la distribution intérieure à  $\Sigma$ , divisée par  $\epsilon_0$

$$\Phi = \frac{\sum q_{\text{int}}}{\epsilon_0} \quad (\text{discontinu}) \quad \Phi = \frac{\int dq}{\epsilon_0} \quad (\text{continu}) \quad \text{avec } dq \dots$$

Il résulte de ce théorème que :

- le flux est conservatif dans une région vide de charge ;
- le potentiel ne peut présenter d'extremum en dehors des charges.

Calculs de champs dans le cas d'une distribution à symétrie appropriée. Comment trouver  $\vec{E}(M)$  ?

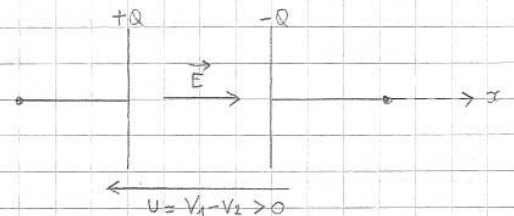
- 1) Analyse des invariances et des symétries ;
- 2) Choix de la surface de Gauss (fermée, passant par M, telle que  $\|\vec{E}(M)\|$  identique en tout point de  $\Sigma$  et  $\vec{E}(M)$  selon la normale à  $\Sigma$ , soit une équipotentielle) ;
- 3) Appliquer le théorème de Gauss :  $\Phi = E(M) \cdot \Sigma = \frac{Q_{\text{int}}}{\epsilon_0}$

Pour des équipotentielles non fermées, fermer  $\Sigma$  par des portions de surface tq.  $\vec{E} \perp d\vec{S}_e$  (soit  $\Phi_e$  nul)

- Résultat : continuité du potentiel et discontinuité du champ à la traversée de surfaces chargées ( $\Delta \vec{E}_{1 \rightarrow 2} = \sigma / \epsilon_0 \vec{n}_{1 \rightarrow 2}$ ) ; continuité du champ et potentiel pour les distributions volumiques
- Remarque : l'application locale (petit volume) du théorème de Gauss permet de déduire une loi de distribution locale ou une composante locale du champ.

### Condensateur plan

Un condensateur plan est un système assimilable à deux conducteurs plans infinis, parallèles, portant respectivement une charge  $+Q = +\sigma S$  et  $-Q = -\sigma S$  sur leurs faces (armatures) en regard.



Le champ est uniforme à l'intérieur :  $\vec{E} = \frac{\sigma}{\epsilon_0} \hat{x}$

La capacité correspond à  $C = Q/U = \epsilon_0 S/e$  (UNITÉ : Farad F)

L'énergie potentielle électrostatique a pour expression :

$$E_p = \frac{1}{2} \frac{Q^2}{C} = \frac{1}{2} QU = \frac{1}{2} CU^2$$

### Analogie électrostatique - gravitation

Les forces électrostatique et gravitationnelle sont deux forces newtoniennes. On a la correspondance :

$$q \leftrightarrow m \quad \frac{1}{4\pi\epsilon_0} = k \leftrightarrow -G \quad \vec{E} \leftrightarrow \vec{G}$$

On en déduit le théorème de Gauss de la gravitation :

$$\iint_{\Sigma} \vec{G} \cdot d\vec{S}_e = -4\pi G M_{\text{int}}$$

Ainsi, pour un corps à symétrie sphérique, le champ de gravitation créé à  $r \geq R$  est le même que celui produit par une masse ponctuelle de valeur la masse totale, placée au centre O du corps sphérique.

## DIPÔLE ELECTROSTATIQUE

Un dipôle électrostatique correspond à un doublet de charges  $-q(A)$  et  $+q(B)$  séparées par une longueur  $l = AB$  petite par rapport aux distances d'action  $r$ .

- Approximation dipolaire :  $OH = r \gg l = AB$ ,  $O$  milieu de  $AB$
- Moment dipolaire :  $\vec{\mu} = q\vec{AB} = q\vec{l}$  (en C.m ou Debye)

Actions exercées par un dipôle :

• Potentiel créé en  $M(r, \theta)$  : 
$$V(r, \theta) = \frac{q l \cos \theta}{4\pi \epsilon_0 r^2} = \frac{\vec{\mu} \cdot \hat{r}}{4\pi \epsilon_0 r^2}$$

• Champ créé en  $M(r, \theta)$  : 
$$\vec{E} = -\text{grad} V$$

$$E(r) = -\frac{\partial V}{\partial r} = \frac{2\mu \cos \theta}{4\pi \epsilon_0 r^3} \quad \text{et} \quad E(\theta) = -\frac{1}{r} \frac{\partial V}{\partial \theta} = \frac{\mu \sin \theta}{4\pi \epsilon_0 r^3}$$

Forme intrinsèque : 
$$\vec{E}(M) = \frac{1}{4\pi \epsilon_0} \frac{3(\vec{\mu} \cdot \vec{r})\vec{r} - \mu r^2}{r^5} \quad \text{avec} \quad \vec{r} = \vec{OM}$$

Actions sur un dipôle rigide

- Cas d'un champ uniforme  $\vec{E}_0$  :

$$\vec{F} = \vec{0} \quad \text{et} \quad \vec{\Gamma} = \vec{\mu} \wedge \vec{E}_0$$

les actions mécaniques se réduisent à un couple de forces de moment  $\vec{\Gamma}$  qui tend à aligner le dipôle dans la direction et le sens du champ.

- Cas d'un champ non uniforme  $\vec{E} = E(x)\hat{x}$  :

$$\vec{F} = q d\vec{E} \quad \text{et} \quad \vec{\Gamma} = \vec{\mu} \wedge \vec{E}$$

Une fois que le couple a aligné le dipôle selon le champ local ( $\vec{\mu} \parallel \vec{E}$ ), la force l'entraîne vers les champs forts :

$$\vec{F} = q d\vec{E} = \vec{\mu} \frac{dE}{dx}$$

- Energie potentielle du dipôle dans le champ  $\vec{E}$  :

$$E_p = q(V_B - V_A) = -\vec{\mu} \cdot \vec{E}$$

La résultante des forces dérive de cette énergie potentielle :

$$\vec{F} = -\text{grad} E_p = +\text{grad} (\vec{\mu} \cdot \vec{E})$$

Applications en chimie

- Ion isolé assimilable à une charge ponctuelle ( $V$  en  $\frac{1}{r}$ )
- Molécule polaire ( $\sum q_i = 0$  et  $q_+ \neq q_-$ ) assimilable à un dipôle ( $V$  en  $\frac{1}{r^2}$ )

REMARQUE : si  $\sum q_i = 0$  et  $q_+ = q_-$  on obtient en quadripôle ( $V$  en  $\frac{1}{r^3}$ ).

## MOUVEMENT DES PARTICULES CHARGÉES DANS LES CHAMPS $\vec{E}$ ET $\vec{B}$ - MILIEUX CONDUCTEURS

### Champ magnétique

Les sources du champ  $\vec{B}$  sont les charges mobiles (courants, aimants).

La force magnétique exercée par  $\vec{B}$  sur une charge mobile  $(q, \vec{v})$  est :

$$\vec{F} = q\vec{v} \wedge \vec{B}$$

### Force de Lorentz

L'action d'un couple  $(\vec{E}, \vec{B})$  sur une charge mobile  $(q, \vec{v})$  est :

$$\vec{F} = q(\vec{E} + \vec{v} \wedge \vec{B})$$

La puissance de la force de Lorentz est :  $P = \vec{F} \cdot \vec{v} = q\vec{E} \cdot \vec{v}$

### Action de $\vec{E}$ uniforme sur une particule $(q, m)$

• Energie potentielle électrique :  $E_p = qV$  (potentiel électrique  $V$ ).

• Accélérateur linéaire :  $v_1^2 = v_0^2 + \frac{2qU}{m}$  avec  $qU = q(V_0 - V_1) > 0$ .

• Action d'un condensateur plan ( $\vec{E} \perp \vec{v}_0$ ) : déflexion  $Y$  proportionnelle à  $\frac{|q|}{m}$  et  $U$  (tension entre les armatures).

### Action de $\vec{B}$ uniforme sur une particule mobile

• Aspect énergétique :  $P = \vec{F} \cdot \vec{v} = 0$ ,  $E_c = \text{cst}$ ,  $\|\vec{v}\| = \text{cst}$ .

• Mouvement rectiligne uniforme pour  $\vec{B} \parallel \vec{v}_0$

• Mouvement circulaire uniforme pour  $\vec{B} \perp \vec{v}_0$ , de rayon  $R = \frac{mv_0}{|q|B}$ , de période  $T = \frac{2\pi m}{|q|B}$  indépendante de la vitesse (application au cyclotron).

### Milieux conducteurs

• Vecteur densité de courant :  $\vec{j} = \sum_k n_k^* q_k \vec{v}_k$

où  $q_k$  est le porteur de charge,  $n_k^*$  est la densité volumique ( $\text{m}^{-3}$ ) de charge, et  $\vec{v}_k$  la vitesse d'ensemble.

• Loi d'Ohm locale :  $\vec{j} = \sigma \vec{E}$  ou  $\vec{E} = \rho \vec{j}$   
(conductivité  $\sigma$ ) (résistivité  $\rho$ )

Résistance électrique d'un conducteur filiforme :  $R = \frac{\rho l}{S}$  (longueur  $l$ , section constante  $S$ ).

• Force de Laplace :  $d\vec{F} = i d\vec{\ell} \wedge \vec{B} = \vec{j} \wedge \vec{B} d\tau$  (version linéique ou volumique)

• Tension de Hall :  $U_H$  proportionnelle au module d'un champ  $\vec{B}$ , agissant sur un mince ruban métallique traversé par un courant  $i$  (Effet Hall conduisant à la mesure d'un champ magnétique).

ELEMENT DE COURANT - CHAMP MAGNETOSTATIQUEDistributions de courant

Un courant électrique est un mouvement d'ensemble ordonné de particules chargées.

• Intensité électrique à travers une section  $S$ :  $I = \frac{dq}{dt}$

• Vecteur densité de courant:  $\vec{j} = n \cdot q \cdot \vec{v}$  et  $I = \iint_S \vec{j} \cdot \vec{dS}$

On distingue trois types de vecteurs élément de courant:

$$\vec{dC} = \underbrace{\vec{j} d\tau}_{(\text{volumique})} = \underbrace{\vec{j}_s dS}_{(\text{surfaique})} = \underbrace{I d\vec{e}}_{(\text{linéique - filiforme})}$$

Loi de Biot et Savart

Le champ élémentaire  $\vec{dB}(M)$  créé au point  $M$  par l'élément de courant  $\vec{dC} = I d\vec{e}$  est:

$$\vec{dB}(M) = \frac{\mu_0}{4\pi} \frac{I d\vec{e} \wedge \vec{u}}{r^2} \quad (\text{perméabilité } \mu_0 = 4\pi \cdot 10^{-7} \text{ H m}^{-1})$$

$\vec{B}(M)$  s'obtient ainsi par intégration vectorielle en tenant compte des symétries.

$\vec{B}(M)$  n'est pas défini sur les sources filiformes, et n'est pas continue (composante tangentielle) à la traversée d'une distribution surfaique.

Topographie et symétries

• Les lignes de champ magnétiques tournent autour des sources.

• Symétrie plane ( $P' = \text{sym}_\pi P \Leftrightarrow \vec{dC}' = \text{sym}_\pi \vec{dC}$ ),

le champ magnétique  $\vec{B}$  est orthogonal à un plan de symétrie en tout point de ce plan.

• Antisymétrie plane ( $P' = \text{sym}_{\pi^*} P \Leftrightarrow \vec{dC}' = -\text{sym}_{\pi^*} \vec{dC}$ ),

le champ magnétique  $\vec{B}$  en un point d'un plan d'antisymétrie appartient à ce plan.

• Symétrie cylindrique (invariance par translation et rotation)

$$\vec{B} = B_\theta(r) \hat{\theta}, \quad \text{cas d'un fil infini d'axe } Oz.$$

• Axe de symétrie de révolution (en un point de l'axe).

$$\vec{B} = B_z(z) \hat{z}, \quad \text{cas d'une spire d'axe } Oz.$$

Calculs de  $\vec{B}$ : exemples utiles

• Fil rectiligne infini:  $\vec{B} = \frac{\mu_0 I}{2\pi r} \hat{\theta}$

• Spire circulaire sur son axe:  $\vec{B} = \frac{\mu_0 I}{2R} \sin^3 \alpha \hat{z}$ .

• Solénoïde circulaire sur son axe:  $\vec{B} = \frac{\mu_0 n I}{2} (\cos \theta_2 - \cos \theta_1) \hat{z}$ .

Solénoïde infini  $\Rightarrow$  champ intérieur uniforme  $\vec{B} = \mu_0 n I \hat{z}$ .

CIRCULATION ET FLUX DU CHAMP MAGNETOSTATIQUE

La circulation  $\mathcal{C}$  du champ  $\vec{B}$ , produit par une distribution de courants, le long d'un contour (C) orienté est :

$$\mathcal{C} = \int_C \vec{B} \cdot d\vec{\ell}$$

Théorème d'Ampère

Pour un contour fermé (C), la circulation de  $\vec{B}$  est égale à la somme des intensités algébriques des courants enlacés par (C), multipliée par  $\mu_0$  :

• circuit filiforme :  $\mathcal{C} = \oint_C \vec{B} \cdot d\vec{\ell} = \mu_0 I_{\text{enlacé}} = \mu_0 \sum_k \epsilon_k I_k$  ( $\epsilon_k = +1$  si  $I_k$  ds le sens de  $\vec{n}$ )

• distribution volumique :  $\mathcal{C} = \oint_C \vec{B} \cdot d\vec{\ell} = \mu_0 I_{\text{enlacé}} = \mu_0 \iint_{S_{\text{INT}}} \vec{j} \cdot d\vec{S}$

Le champ  $\vec{B}$  a donc une circulation non conservative.

Calculs de champs  $\vec{B}$ 

1) Analyse des invariances et des symétries.

2) Choix du contour fermé d'Ampère : ligne de champ passant par M, telle que  $\vec{B} \parallel d\vec{\ell}$ , et  $\|\vec{B}\|$  conserve la même valeur.

3) Application du théorème d'Ampère :

$$\mathcal{C} = B \oint_C \|d\vec{\ell}\| = BL = \mu_0 I_{\text{enlacé}} \quad \text{d'où on tire } \|\vec{B}\|$$

Si nécessaire, fermer le contour d'Ampère par des portions où  $\vec{B} \perp d\vec{\ell}$  (circulation nulle).

• Exemples :

- fil rectiligne infini :  $2\pi r B(r) = \mu_0 I$

- solénoïde infini :  $B_{\text{int}} = \mu_0 n I$  (champ interne uniforme)

Le flux du champ magnétique  $\vec{B}$  à travers une surface orientée correspond à :

$$\Phi = \iint_S \vec{B} \cdot d\vec{S} \quad (\text{UNITÉ: Weber } \text{Wb} = \text{T} \cdot \text{m}^2)$$

Le champ magnétique  $\vec{B}$  est à flux conservatif, c'est-à-dire qu'un tube de champ transporte un flux constant :

$$\oint_{\Sigma} \vec{B} \cdot d\vec{S}_e = 0$$

Cette propriété peut être exploitée localement pour déduire la composante radiale d'une distribution à symétrie de révolution, si on connaît la composante axiale.

Conclusion :  $\vec{E}$  est un vecteur vrai,  $\vec{B}$  est un pseudo-vecteur.

$$\vec{E} \left\{ \begin{array}{l} \text{circulation conservative} \\ \text{flux non conservatif (Théorème de Gauss)} \end{array} \right.$$

$$\vec{B} \left\{ \begin{array}{l} \text{circulation non conservative (Théorème d'Ampère)} \\ \text{flux conservatif.} \end{array} \right.$$

## DIPÔLE MAGNÉTIQUE

Soit une spire circulaire de rayon  $R$ , parcourue par un courant d'intensité  $I$  (le sens de  $I$  permet d'orienter la spire et de définir la normale).

Le moment magnétique  $\vec{M}_0$  est le pseudo-vecteur :  $\vec{M}_0 = IS\vec{n} = \pi R^2 I \vec{n}$

Si l'on décompose une distribution de courants finie en boucles de courant :

$$\vec{M}_0 = \int_{\mathcal{D}} d\vec{M}.$$

Approximation du dipôle magnétique

En assimilant à un dipôle magnétique (modélisé par une boucle de courant) toute distribution de courants stationnaires de dimensions faibles par rapport aux distances d'action et de  $\vec{M} \neq \vec{0}$ .

Champ créé par un dipôle magnétique (placé en  $O$ ) au point  $M(r, \theta)$

Par analogie au dipôle électrostatique :

$$\frac{1}{4\pi\epsilon_0} \Leftrightarrow \frac{\mu_0}{4\pi} \quad \vec{\mu} \Leftrightarrow \vec{M}_0 \quad \vec{E} \Leftrightarrow \vec{B}$$

$$B(r) = \frac{\mu_0}{4\pi} \frac{2M_0 \cos \theta}{r^3} \quad \text{et} \quad B(\theta) = \frac{\mu_0}{4\pi} \frac{M_0 \sin \theta}{r^3}$$

Forme intrinsèque :  $\vec{B} = \frac{\mu_0}{4\pi r^3} \left( \frac{3\vec{M}_0 \cdot \vec{r}}{r^2} \vec{r} - \vec{M}_0 \right)$  avec  $\vec{r} = \overrightarrow{OM}$

Exemples : aimant, Terre...

Topographie identique à celle du dipôle électrostatique.

Actions d'un champ extérieur  $\vec{B}_{\text{ext}}$  sur un dipôle magnétique

• Cas de  $\vec{B}$  uniforme : l'action se réduit à un couple qui tend à aligner  $\vec{M}$  selon  $\vec{B}$ .

$$\vec{F} = \vec{0} \quad \text{et} \quad \vec{\Gamma} = \vec{M} \wedge \vec{B}$$

• Energie potentielle d'interaction magnétique :

$$E_p = -\vec{M} \cdot \vec{B}.$$